

圖 1 SLS 法之示意圖

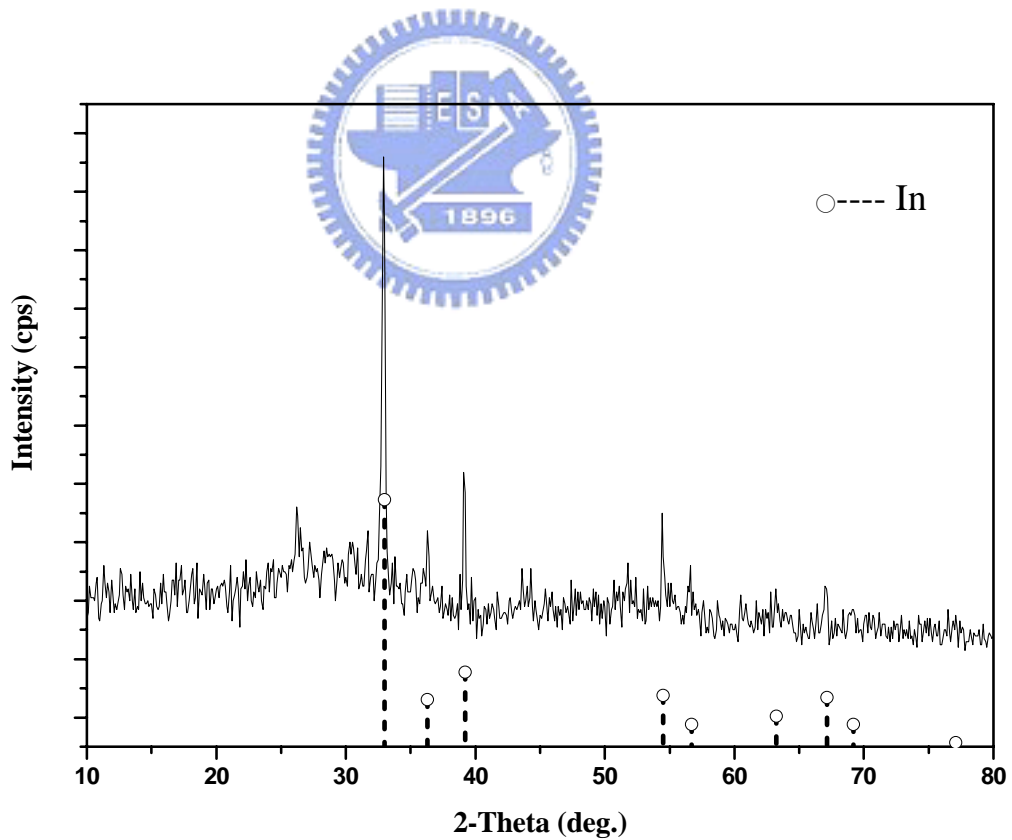


圖 2 鈉金屬過量時以固態置換法所得產物之 X 光繞射圖譜

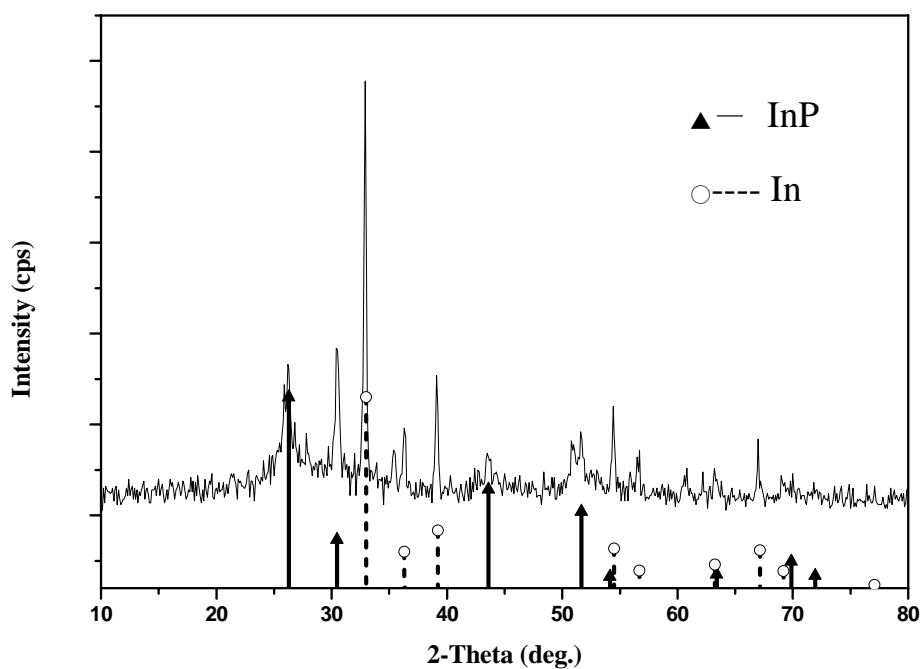


圖 3 氯化銦過量時以固態置換法所得產物之 X 光繞射圖譜

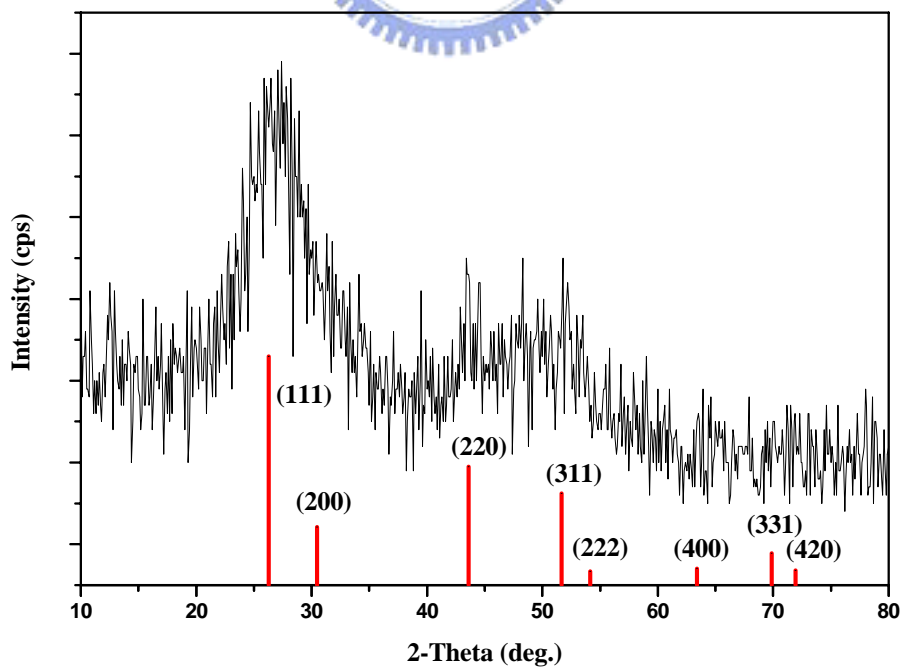


圖 4 固態置換法所得反應產物之 X 光繞射圖譜

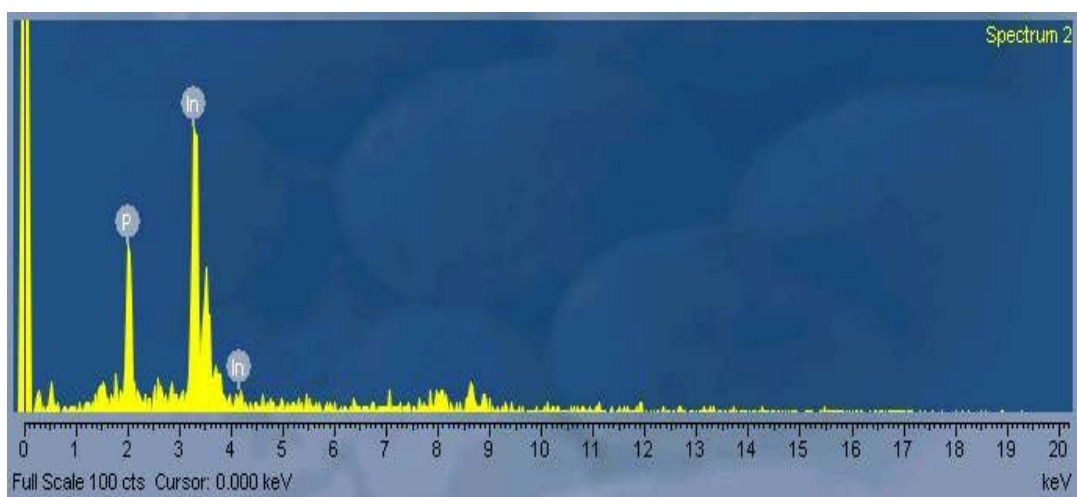


圖 5 固態置換反應所得產物之 EDS 圖譜

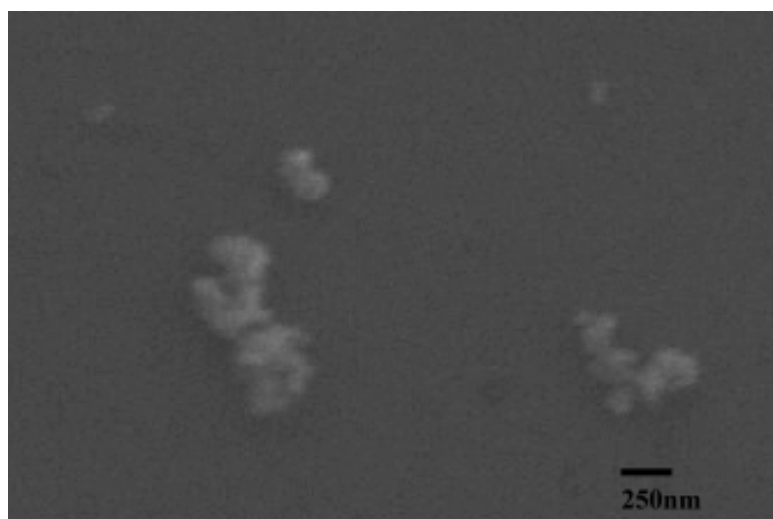


圖 6 固態置換反應所得產物之掃描式電子顯微鏡影像

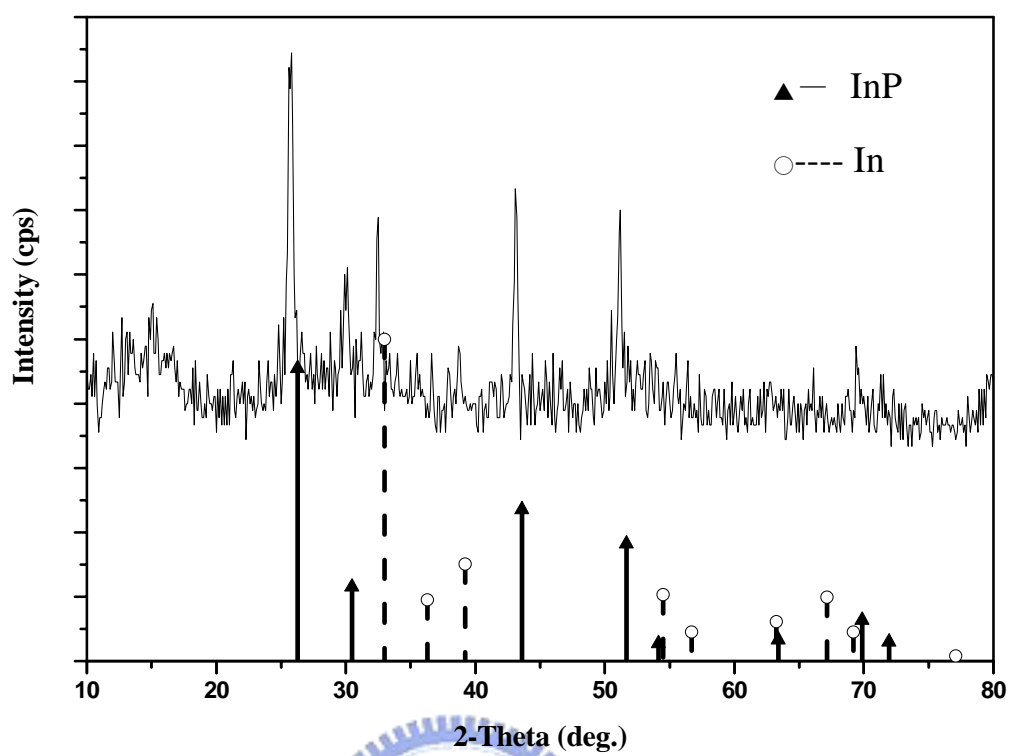


圖 7 水熱法產物之 X 光繞射圖譜

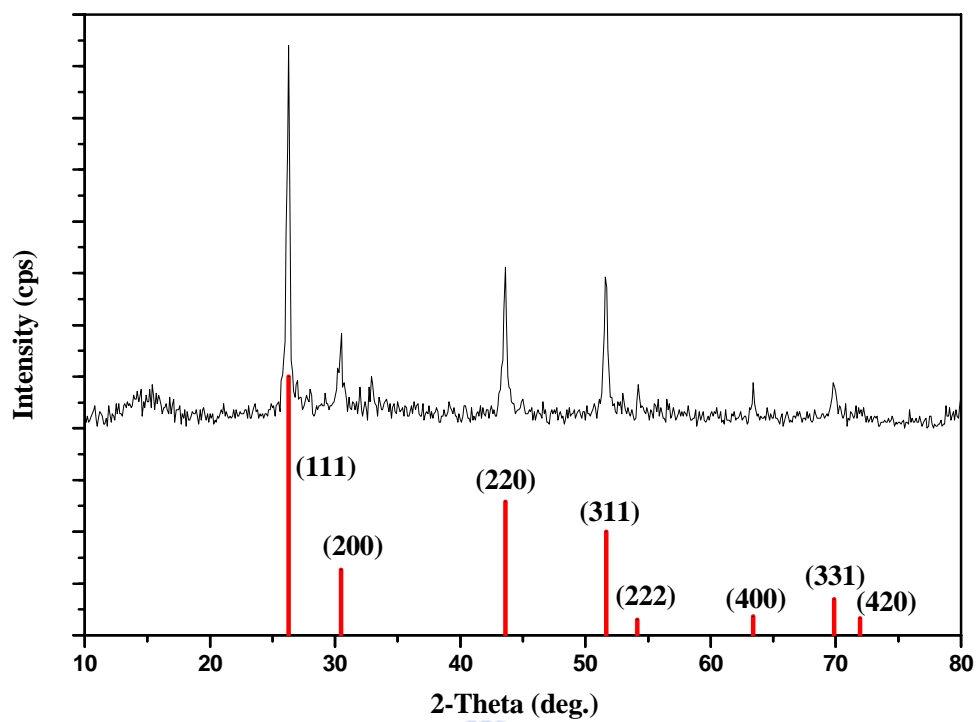


圖 8 加過量紅磷反應所得產物 X 光繞射圖譜

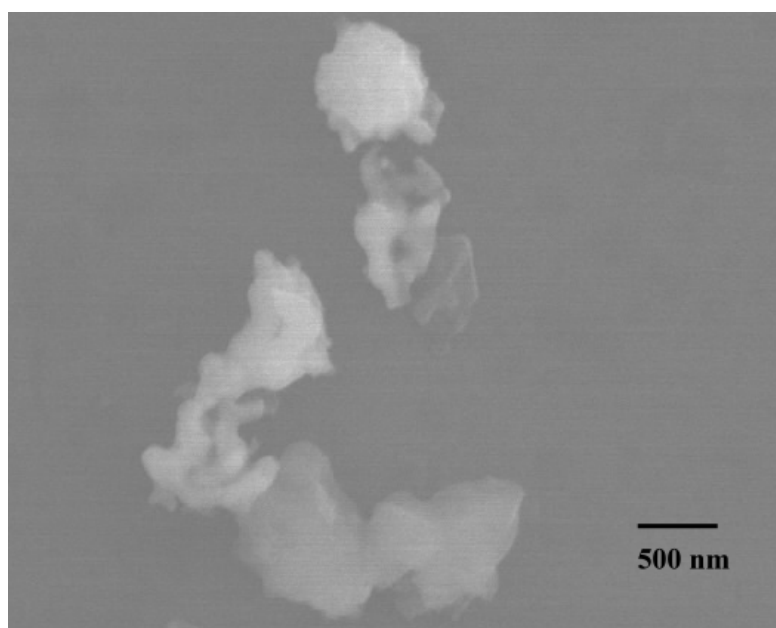


圖 9 水熱法產物掃描式電子顯微鏡影像

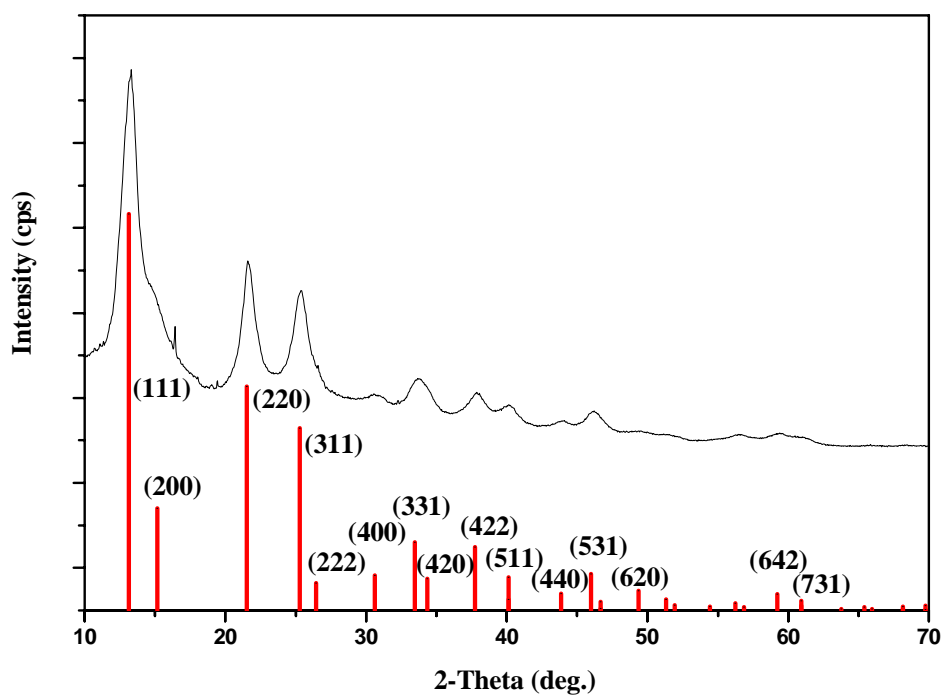


圖 10 以非配位溶劑進行去鹵素矽化反應所得產物之 X 光繞射圖譜

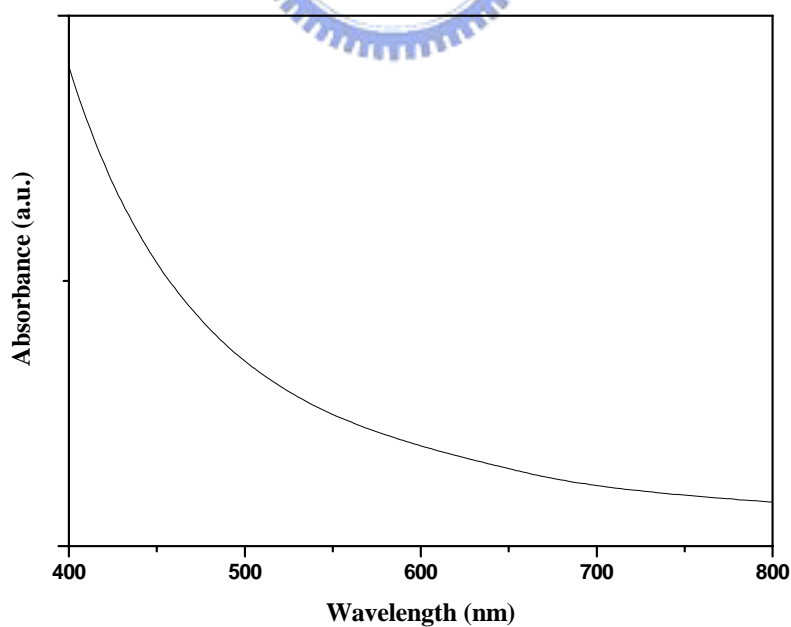


圖 11 以油酸為配位基所得產物之 UV-Vis 吸收光譜

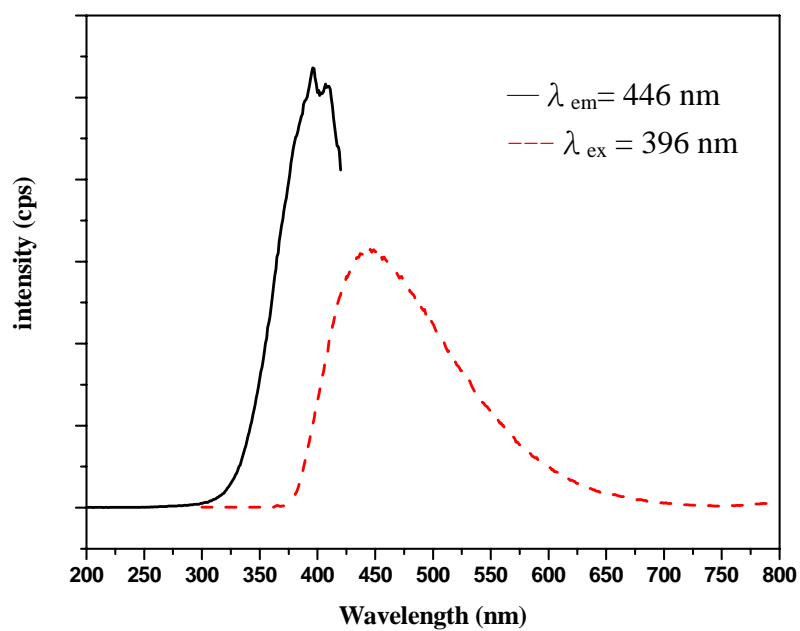


圖 12 以油酸為配位基反應所得產物之 PL 與 PLE 光譜

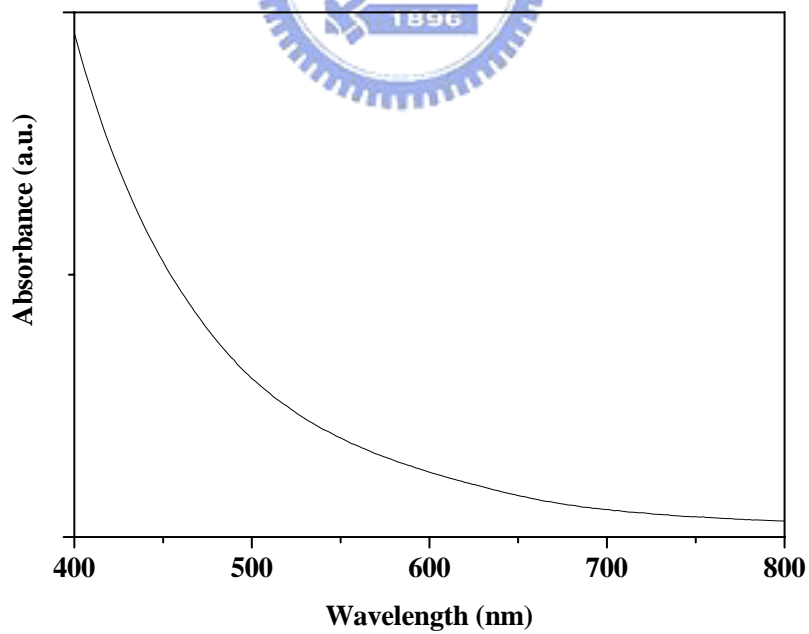


圖 13 以硬脂酸為配位基反應所得產物之 UV-Vis 吸收光譜

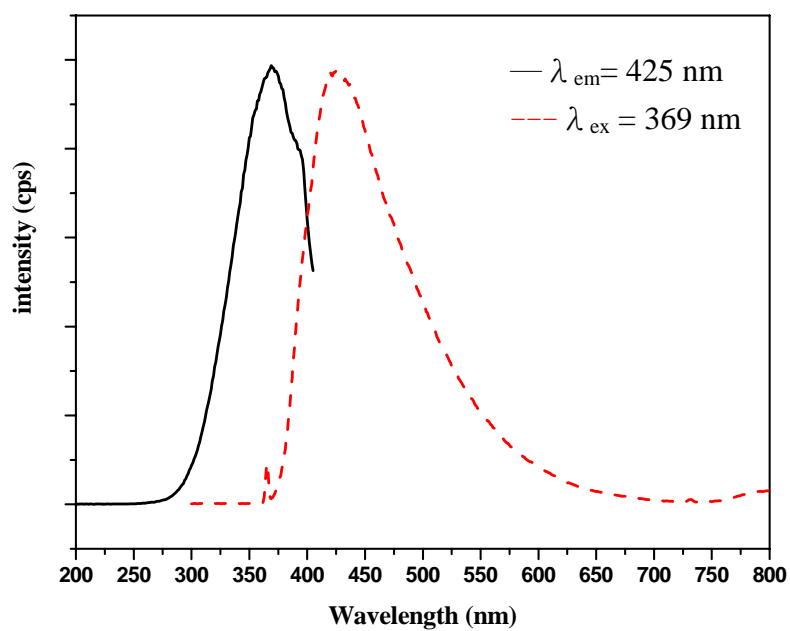


圖 14 以硬脂酸為配位基反應所得產物之 PL 與 PLE 光譜

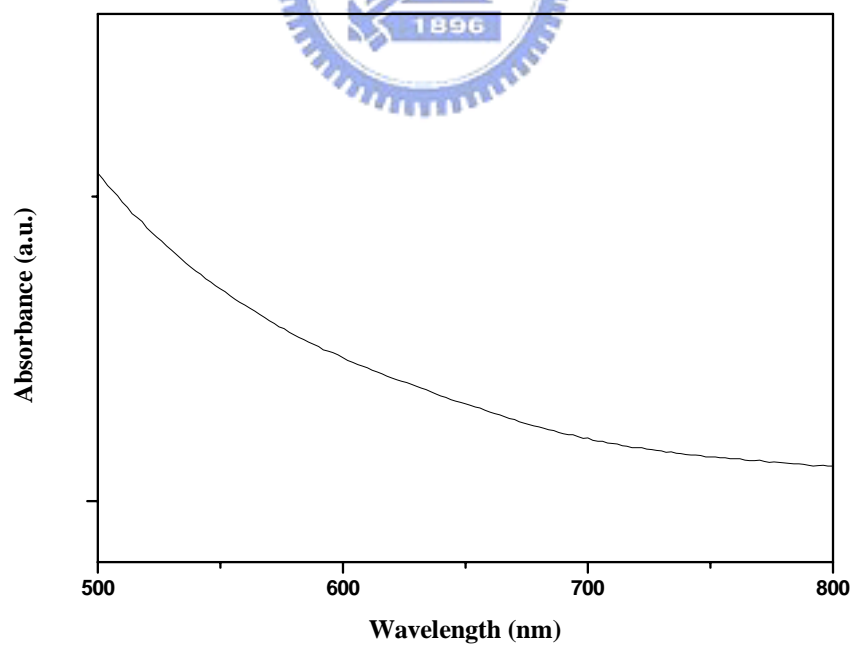


圖 15 以棕櫚酸為配位基反應所得產物之 UV-Vis 吸收光譜

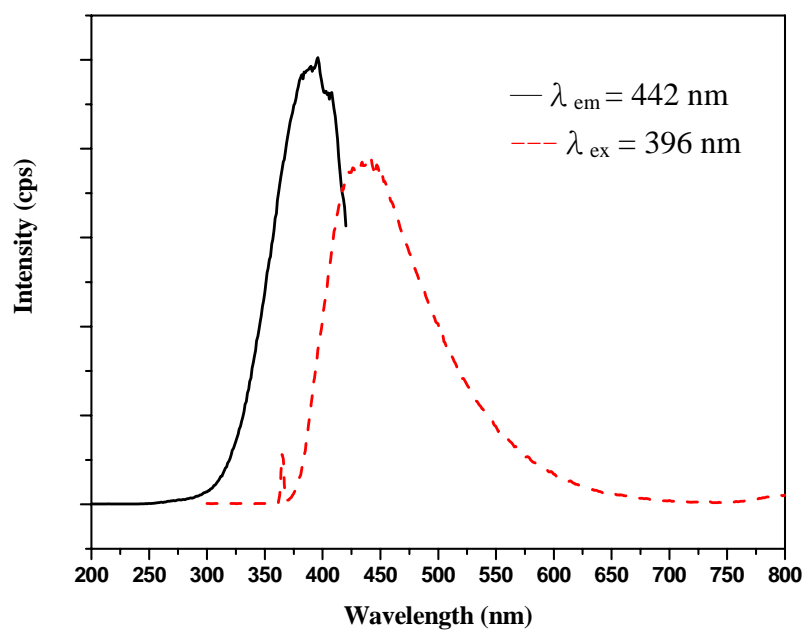


圖 16 以棕櫚酸為配位基反應所得產物之 PL 與 PLE 光譜

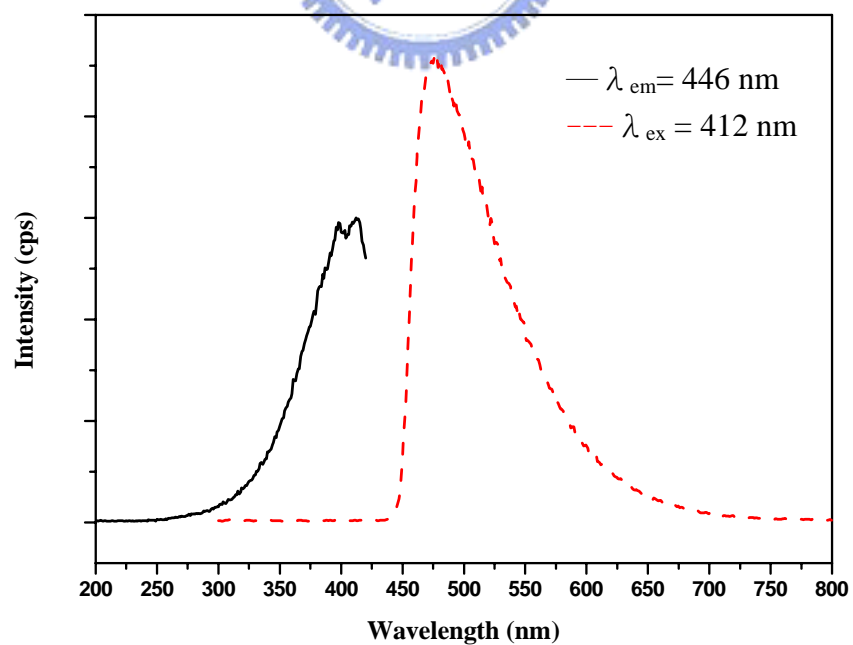


圖 17 以硬脂酸為配位基反應所得產物萃取離心後 PL 與 PLE 光譜

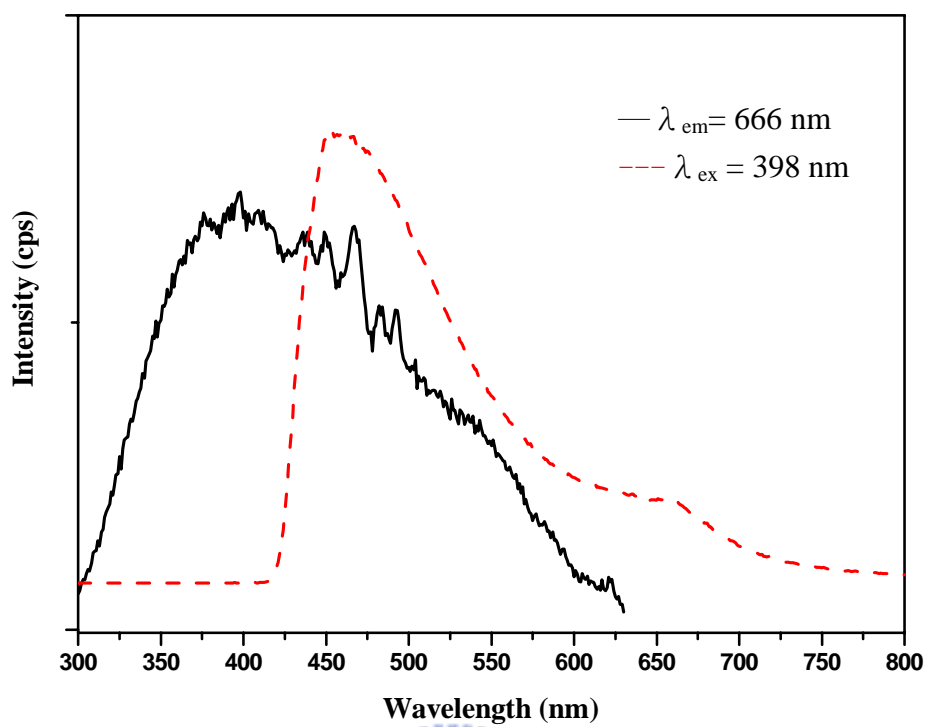


圖 18 以棕櫚酸為配位基反應所得產物萃取離心後 PL 與 PLE 光譜



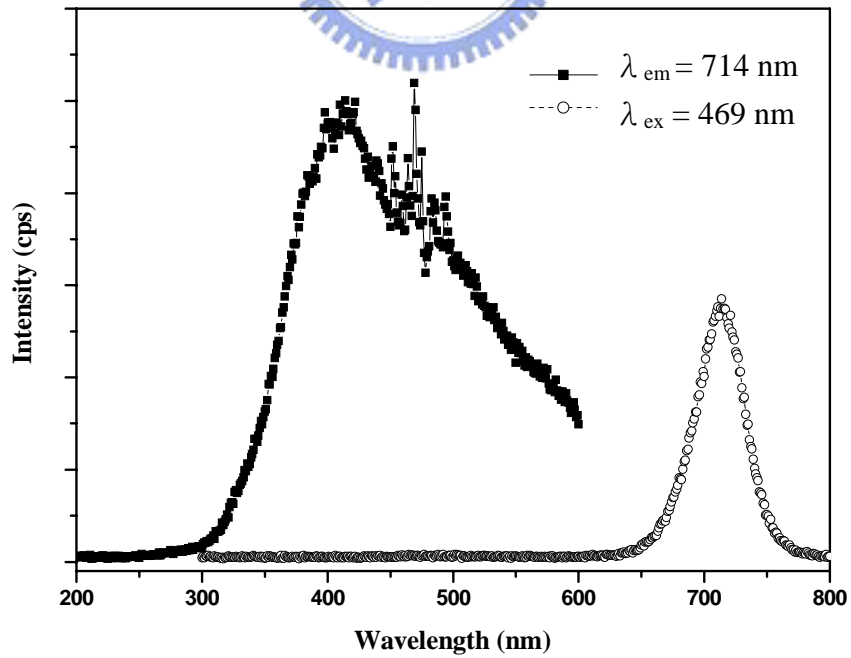
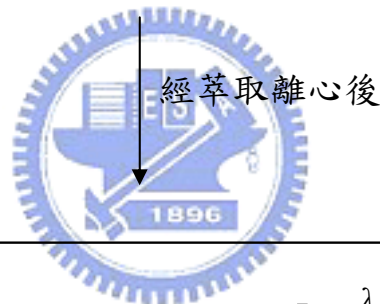
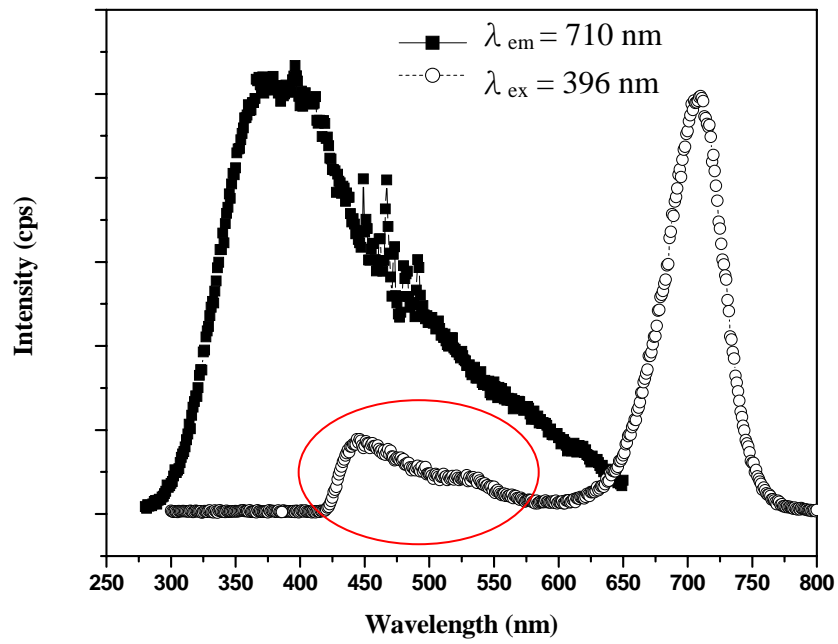


圖 19 CdTe 萃取前後 PL 及 PLE 光譜之比較

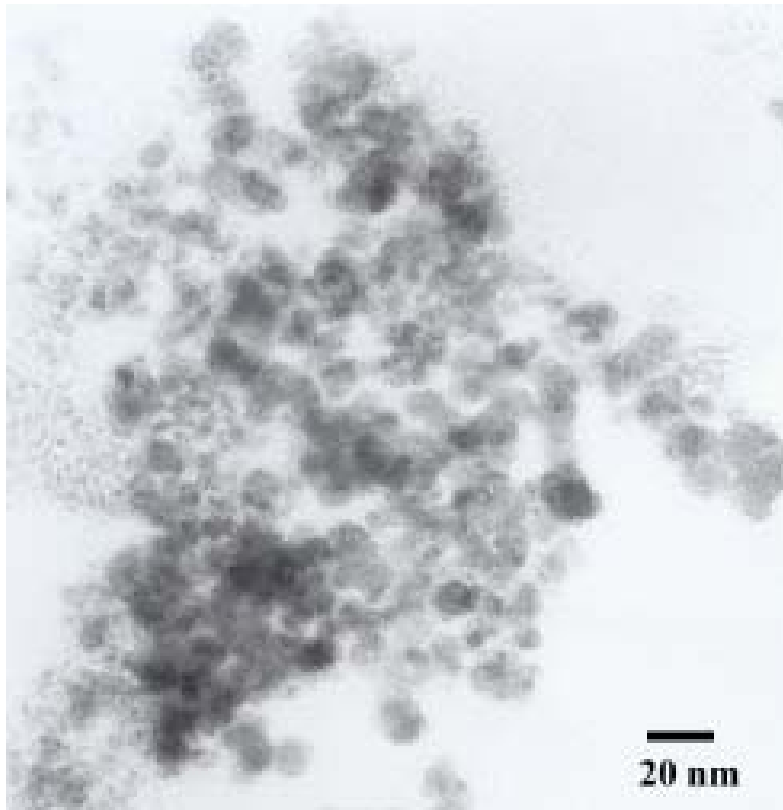


圖 20 以棕櫚酸為配位基反應產物之奈米 InP TEM 影像

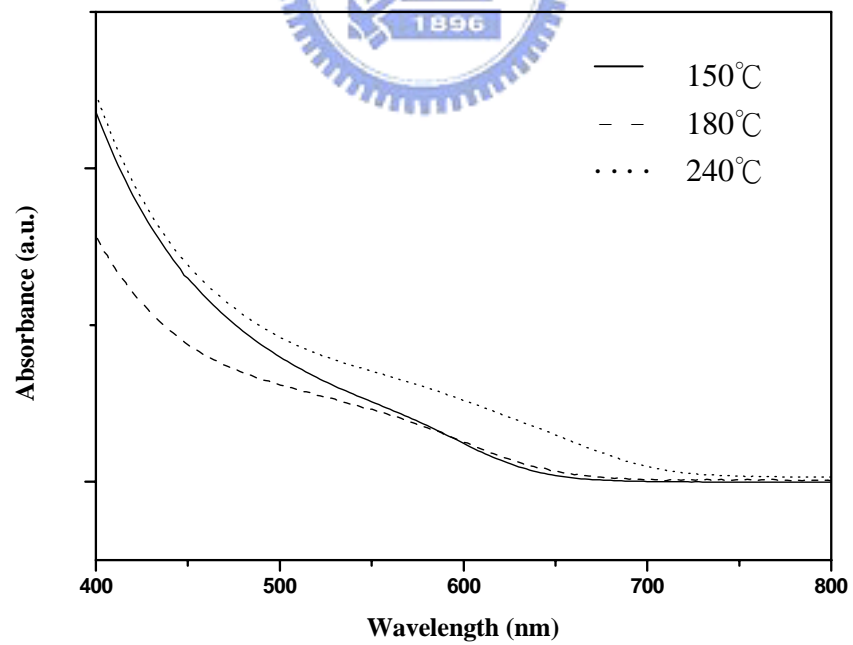


圖 21 以去鹵矽化反應在不同成核溫度下 1 小時後所得奈米 InP

UV-Vis 光譜

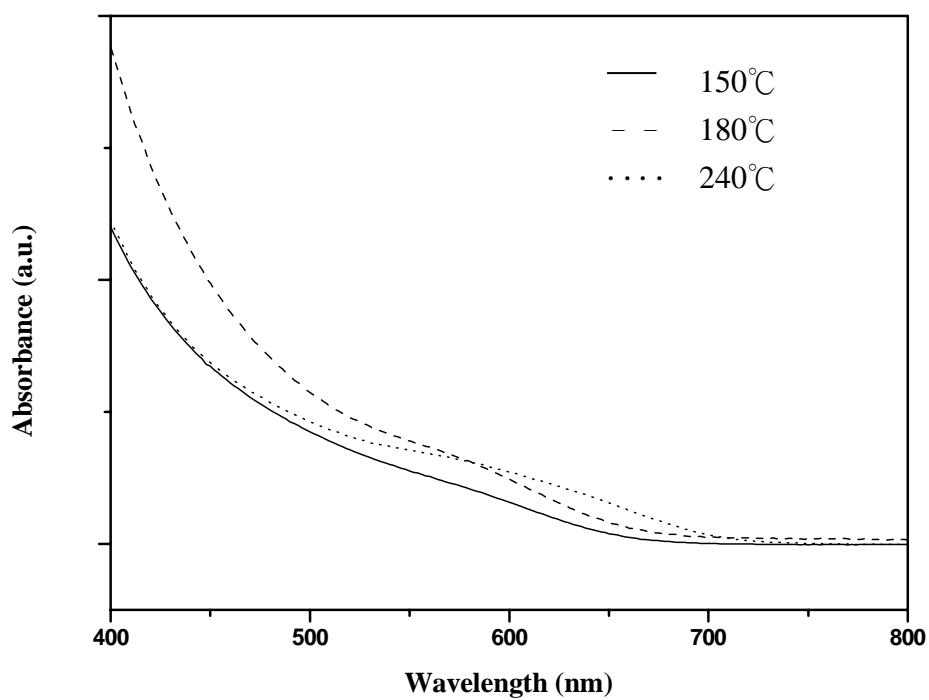


圖 22 4 小時後以去鹵矽化反應在不同成核溫度下所得奈米 InP

UV-Vis 光譜



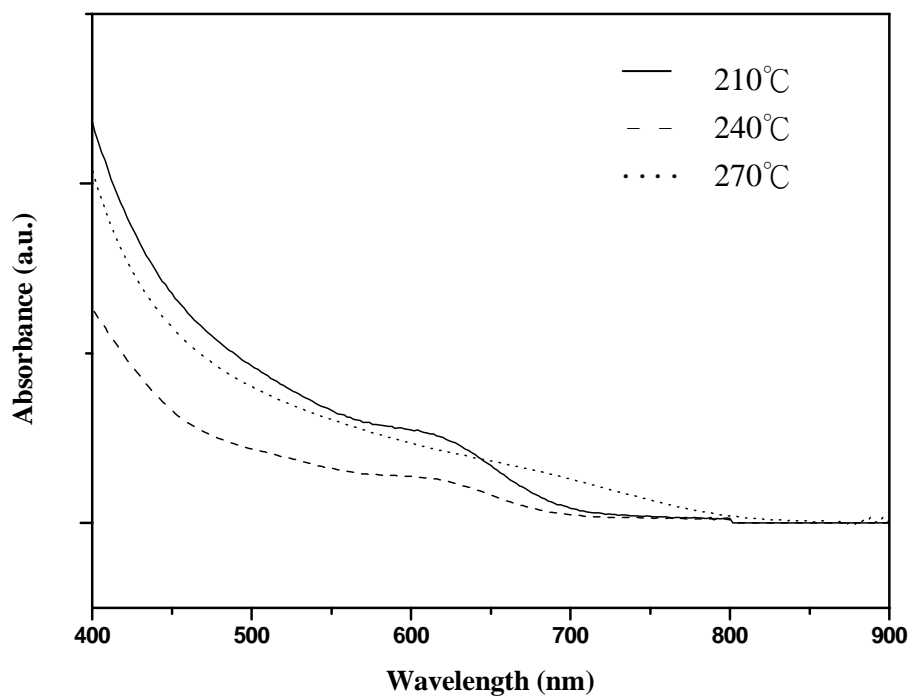


圖 23 22 小時後以去鹵矽化反應在不同成核溫度下所得奈米 InP

UV-Vis 光譜



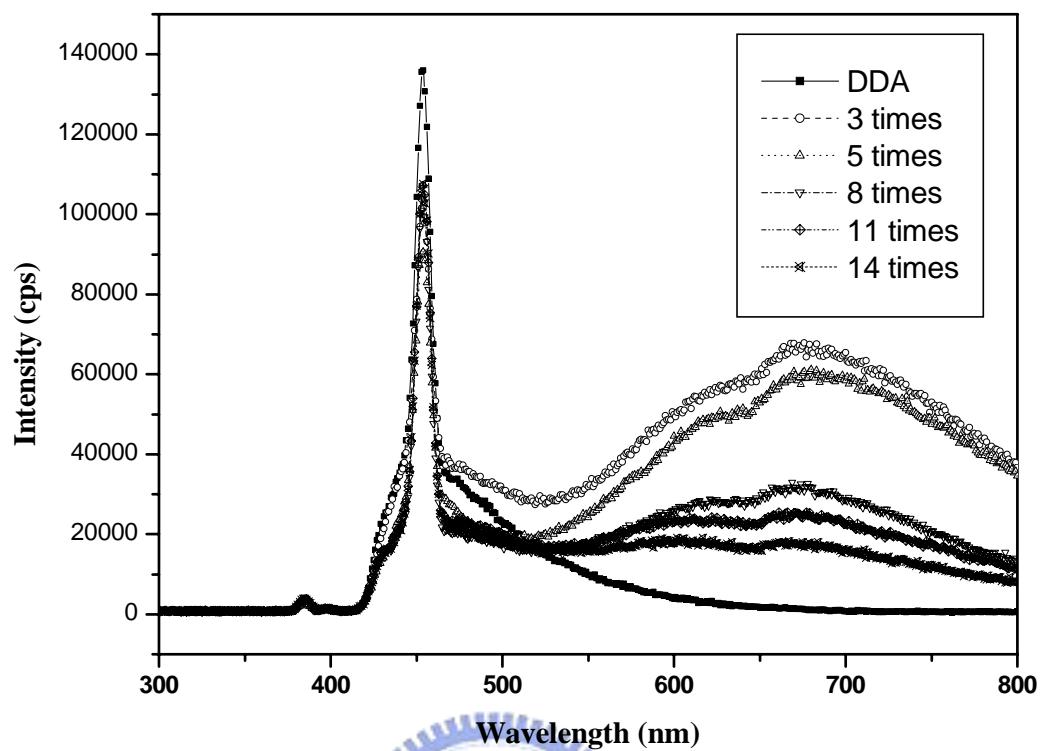


圖 24 DDA 與 TOP 同時包覆奈米 InP 粒子經過清洗後所測得 PL 光譜之比較



圖 25 以 DDA 和 TOP 為包覆劑所得 InP 奈米粒子 ED 圖譜

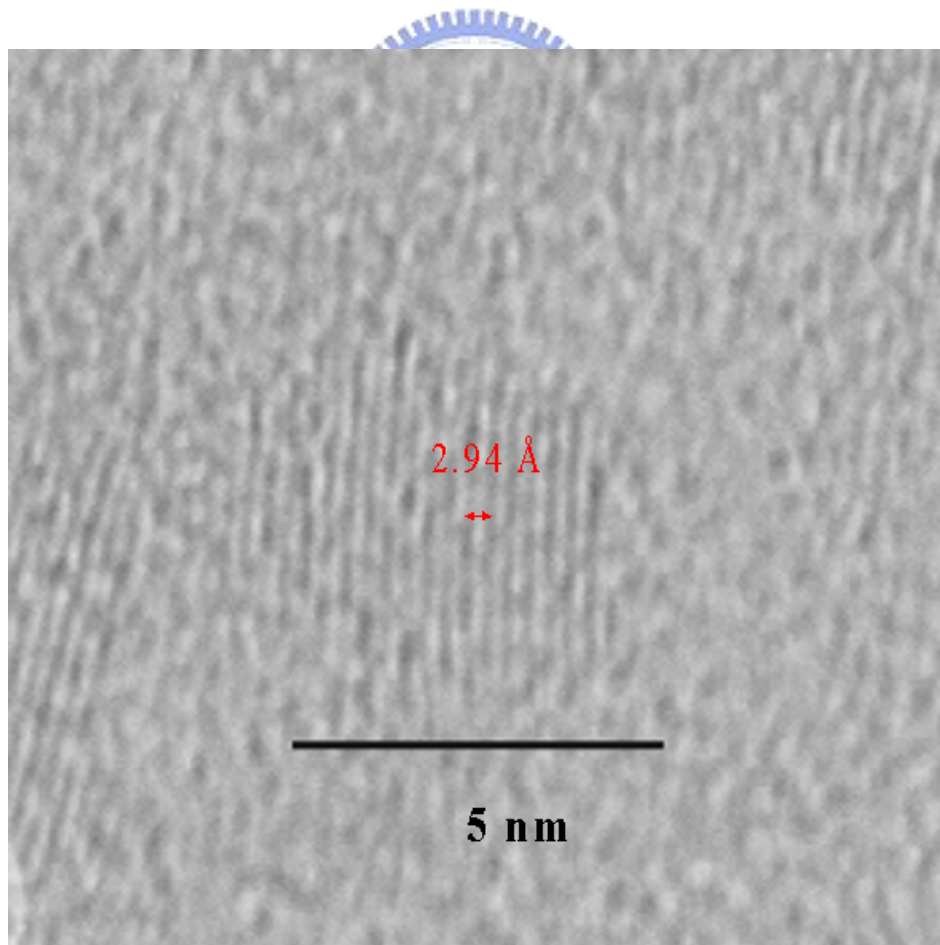


圖 26 以 DDA 和 TOP 為包覆劑所得 InP 奈米粒子 HRTEM 影像

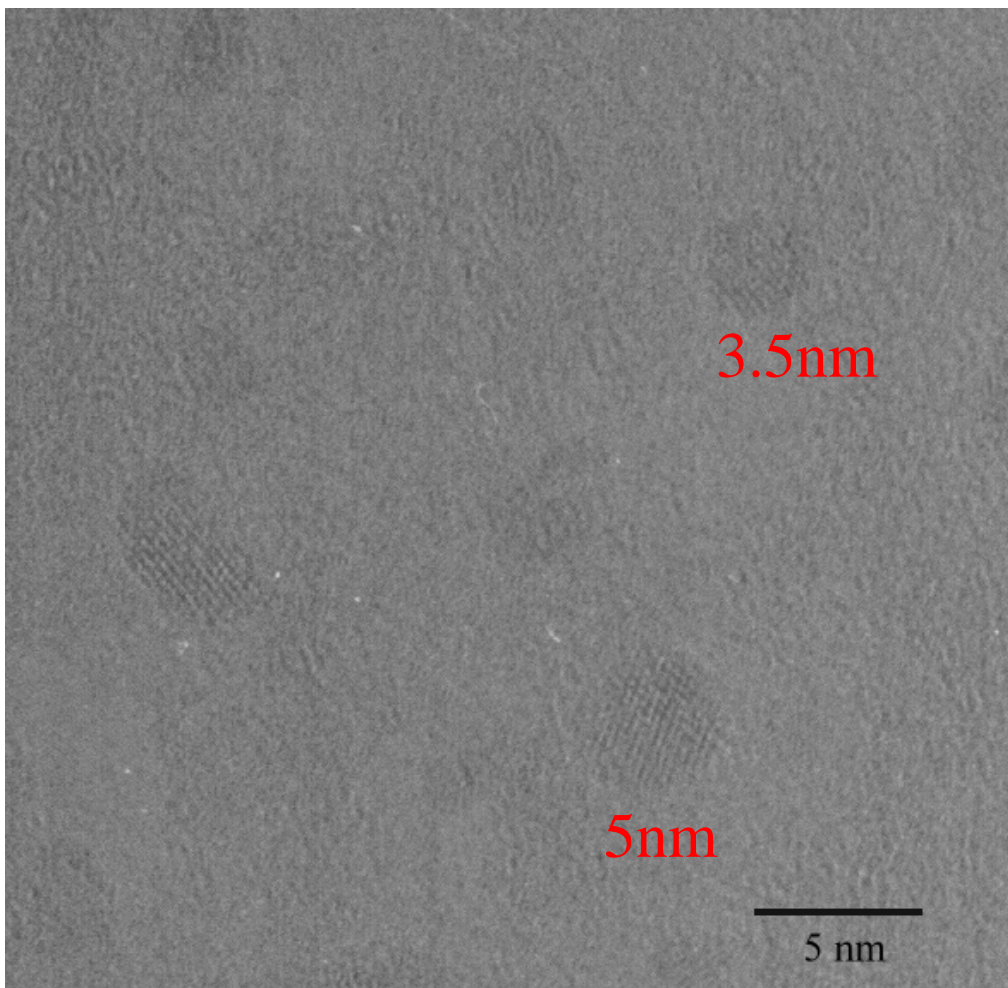


圖 27 以 DDA 和 TOP 為包覆劑所得 InP 奈米粒子 HRTEM 影像

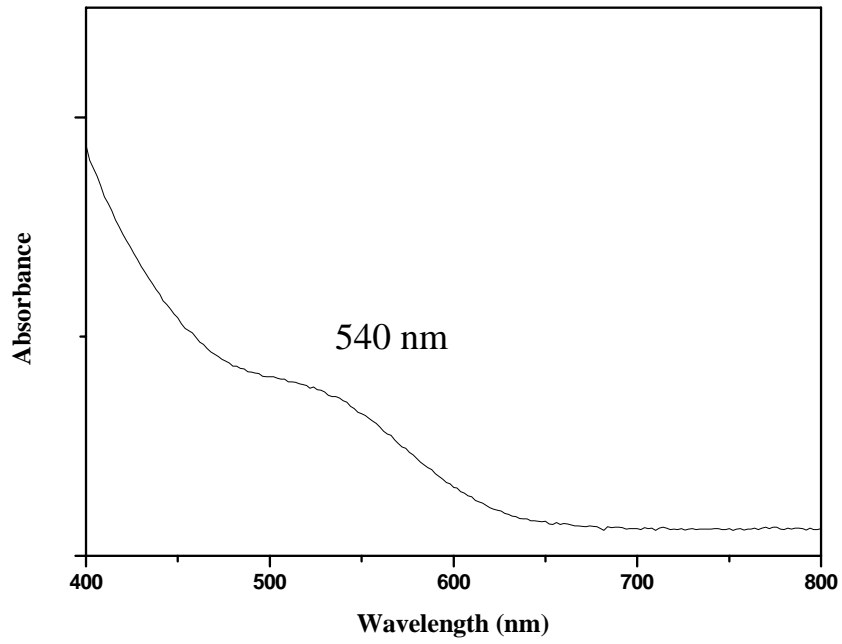


圖 28 $(\text{Ga}_{0.2}\text{In}_{0.8})\text{P}$ 奈米粒子之UV-Vis光譜

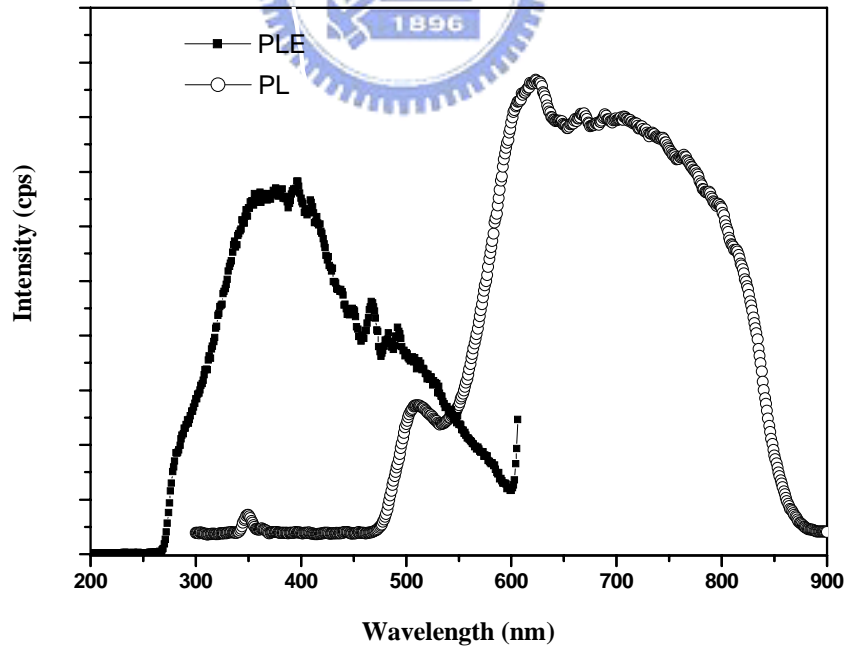


圖 29 $(\text{Ga}_{0.2}\text{In}_{0.8})\text{P}$ 奈米粒子之PL與PLE光譜

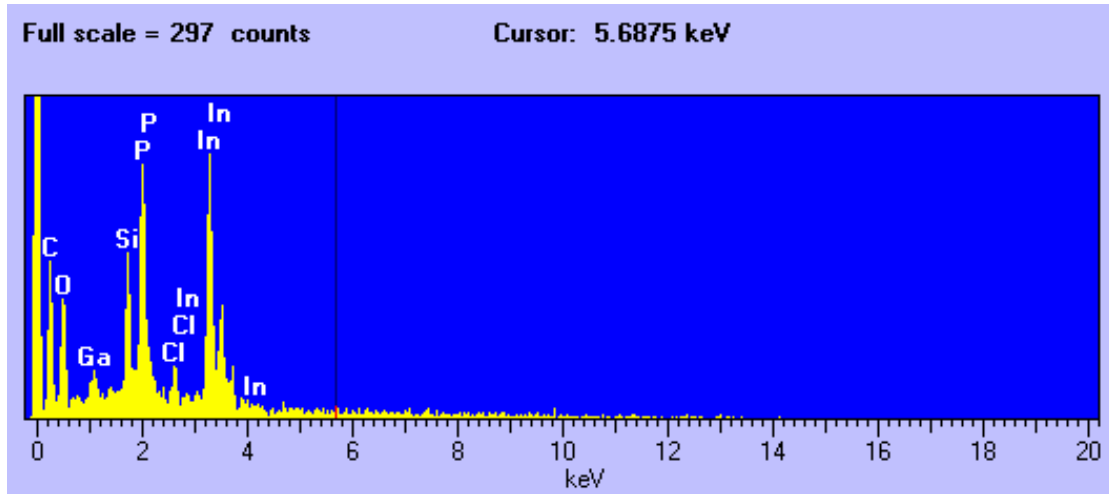


圖 30 $(\text{Ga}_{0.2}\text{In}_{0.8})\text{P}$ 奈米粒子之EDS圖譜

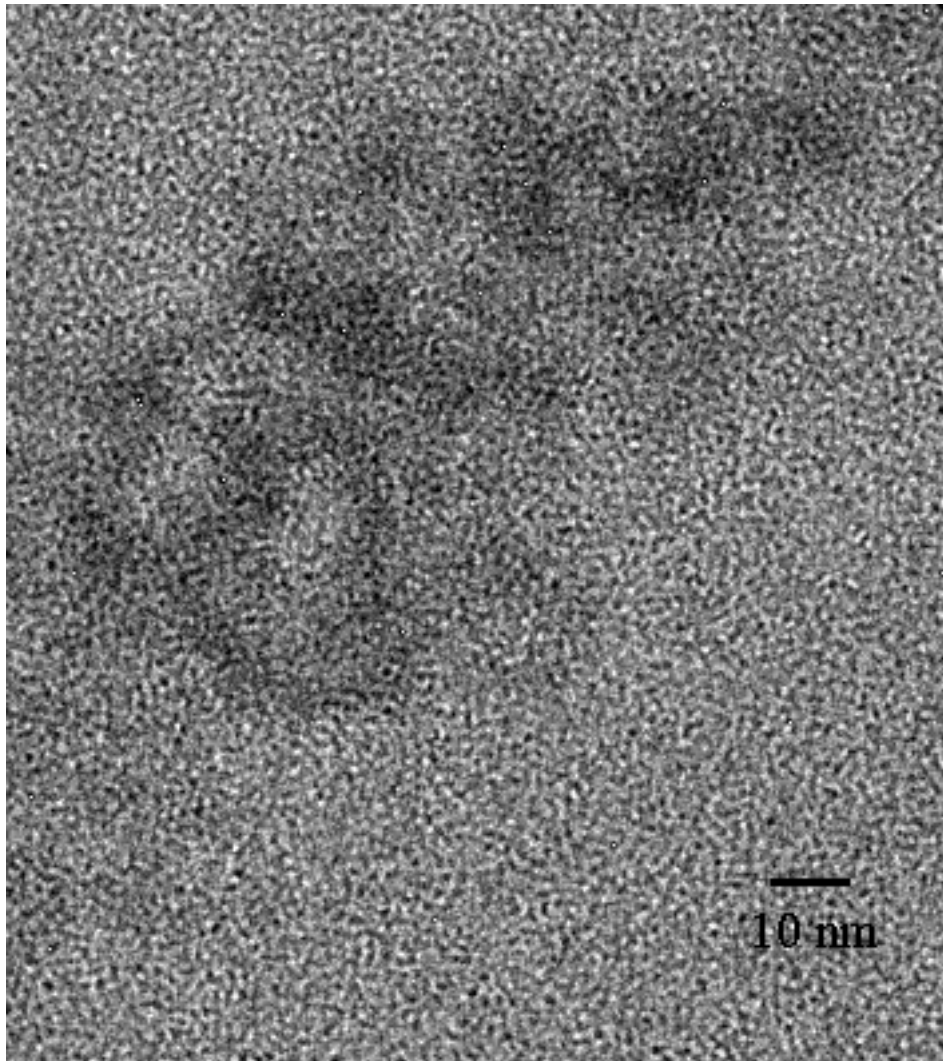


圖 31 $(\text{Ga}_{0.2}\text{In}_{0.8})\text{P}$ 奈米粒子HRTEM影像